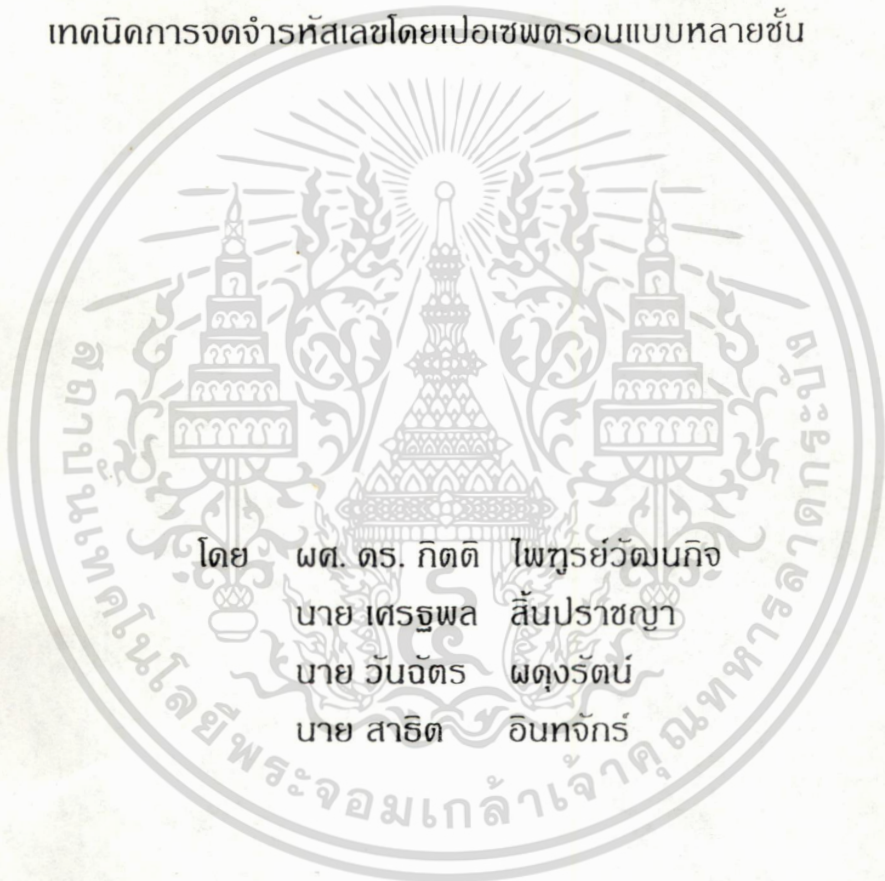


รายงานวิจัยเรื่อง

เทคนิคการจดจำรหัสเลขโดยเปอเซพตรอนแบบหลายชั้น



โดย ผศ. ดร. กิตติ ไพฑูรย์วัฒน์กิจ  
นาย เทรฐพล สิ้นปราชญา  
นาย วันฉัตร ผดุงรัตน์  
นาย สาธิต อินทจักร์

โครงการนี้ได้รับการสนับสนุนจากสำนักงาน คณะกรรมการวิจัยแห่งชาติ

ประจำปี ๒๕๓๖

RCH

TK

๗๘๒

P3

๗๕๖

เลขหมู่.....

เลขทะเบียน..... 32234

วัน, เดือน, ปี..... 11 ส.ค. 2542

เอกสารนี้เป็นเอกสารที่สงวนไว้สำหรับการใช้งานเพื่อการศึกษาเท่านั้น ไม่อนุญาตให้นำไปใช้ประโยชน์ด้านการค้า  
ไม่ว่ากรณีใดๆทั้งสิ้น อีกทั้งห้ามมิให้ตัดแปลงเนื้อหา และต้องอ้างอิงถึงเจ้าของเอกสารทุกครั้งที่มีการนำไปใช้

## เทคนิคการจดจำรหัสเลขโดยเปอเซพตรอนแบบหลายชั้น



บทคัดย่อ

ในปัจจุบันเริ่มมีคนสนใจนำนิวรอลเน็ตเวิร์ค (Neural Networks) ซึ่งเป็นศาสตร์ที่จำลองแบบความสามารถของมนุษย์มาช่วยงานประมวลผลข้อมูลด้านการเรียนรู้ การจดจำและแยกแยะรูปแบบหรือแพทเทิร์น (Pattern) เนื่องจากมีความยืดหยุ่นในการทำงานสูงและสามารถปรับตัวเองให้รับรู้สภาพที่เปลี่ยนแปลงได้ โดยรายงานนี้จะเสนอหลักการของเปอเซพตรอนแบบหลายชั้นที่เป็นโครงสร้างชนิดหนึ่งของนิวรอลเน็ตเวิร์ค และวิธีการของแบ็คพร้อพกาเกชัน (Back Propagation) เพื่อใช้ในการเรียนรู้ที่จะการจดจำและแยกแยะแพทเทิร์นตัวอักษรแบบตัวพิมพ์ดีสามารถนำไปประยุกต์ใช้กับงานทางด้าน OCR (Optical Character Reader) ได้เป็นอย่างดี ผลจากการทดสอบพบว่า วิธีการของแบ็คพร้อพกาเกชัน-นิวรอลเน็ตเวิร์ค สามารถจดจำและแยกแยะแพทเทิร์นได้ดี ถึงแม้ว่าข้อมูลจะมีความผิดเพี้ยน (Distortion) เนื่องจาก สัญญาณรบกวน (Noise) หรือแพทเทิร์นตัวอักษรมีคุณภาพไม่ดี

เอกสารนี้เป็นเอกสารที่สงวนไว้สำหรับการใช้งานเพื่อการศึกษาเท่านั้น ไม่อนุญาตให้นำไปใช้ประโยชน์ด้านการค้าไม่ว่ากรณีใดๆทั้งสิ้น อีกทั้งห้ามมิให้ดัดแปลงเนื้อหา และต้องอ้างอิงถึงเจ้าของเอกสารทุกครั้งที่มีการนำไปใช้

## ABSTRACT

Today many researchers use neural networks which simulate the human ability to help in data processing about learning, recognition and pattern classification. Because it is flexible and can adjust itself to learn the changed environment. This paper employs the back propagation principle in learning to recognize the pattern of characters with multilayer perceptron structure, one kind of neural networks. It can apply for OCR to achieve formore accurately outcome. The preliminary result of neural network by back propagation has shown the ability to recognize well although the acquired input-characters have been distorted due to noise or bad quality.

### คำนำ

การจดจำแพทเทิร์นต่างๆโดยสมองมนุษย์ ก่อให้เกิดความรู้ ความเข้าใจ และนำไปใช้สร้างภูมิปัญญา โดยมนุษย์เองสามารถจดจำสิ่งที่พบเห็นในลักษณะของแพทเทิร์น และบอกได้ว่าเคยพบเห็นมาแล้วหรือไม่ และสิ่งที่เห็นคืออะไร ซึ่งสิ่งที่พบเห็นได้แก่ ภาษา เสียงพูดและรูปภาพของภาพต่างๆ เพื่อทำให้เกิดการสื่อความหมายของสิ่งที่พบเห็นอยู่ในตัวแพทเทิร์น โดยอาศัยประสบการณ์จากการเรียนรู้ และการฝึกฝนที่สะสมมาตั้งแต่ยังเป็นเด็ก

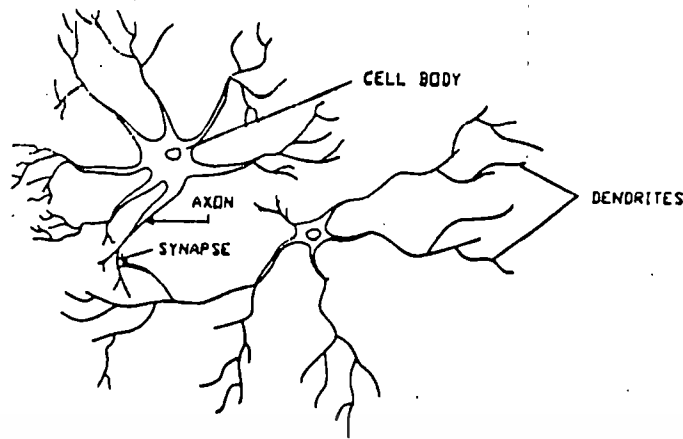
ปัจจุบันเมื่อวิทยาการเจริญมากขึ้น มนุษย์เริ่มนำหลักการพื้นฐานที่มีลักษณะใกล้เคียงกับการทำงานของสมองมนุษย์ในรูปแบบของ อาร์ติฟิเชียลนิวรัลเน็ตเวิร์ค (Artificial Neural Networks) มาช่วยในการตัดสินใจกับงานทางด้านอุตสาหกรรม คมนาคม การสื่อสาร และอื่นๆ มากขึ้น

### นิวรัล (Neural) ในสมองมนุษย์

ระบบเส้นประสาทของมนุษย์ประกอบด้วยเซลล์เล็กๆมากมาย ที่เรียกว่า นิวรัล หรือ เซลล์ประสาทภายในสมองมนุษย์ ซึ่งรวมตัวกันอยู่ในรูปโครงสร้างที่ซับซ้อน มีอยู่ประมาณ  $10^{11}$  นิวรัลในสมองมนุษย์ โดยนิวรัลแต่ละตัวประกอบด้วยส่วนสำคัญ 3 ส่วน คือ

1. เด็นไดรต์ (Dendrite) ตัวรับสัญญาณ อินพุท (input)
2. แอกซอน (Axon) ตัวส่งสัญญาณ เอาท์พุท (output)
3. ซินแนปส์ (Synapse) จุดเชื่อมต่อ (connection point)

เอกสารนี้เป็นเอกสารที่จัดทำขึ้นเพื่อใช้ในการอ้างอิงเท่านั้น ไม่สามารถนำเอกสารนี้ไปใช้ประโยชน์ด้านการค้า  
ไม่ว่ากรณีใดๆทั้งสิ้น อีกทั้งห้ามมิให้ดัดแปลงเนื้อหา และต้องอ้างอิงถึงเจ้าของเอกสารทุกครั้งที่มีการนำไปใช้

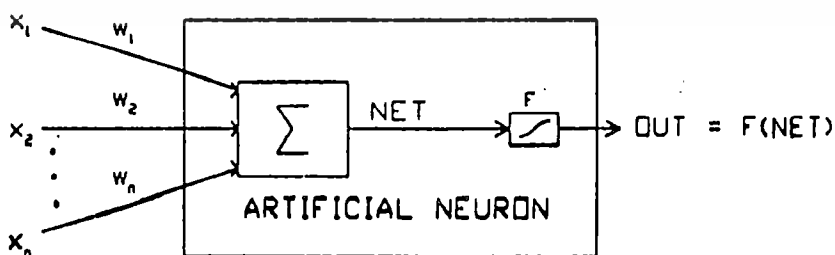


รูปที่ 1 แสดงนิวรอนทางชีววิทยา

แต่ละนิวรอนจะเชื่อมต่อกับนิวรอนอื่นอีกหลายนิวรอน โดยเด้นไดร์ทจะทำหน้าที่รับสัญญาณที่จุดเชื่อมต่อที่เรียกว่า ซินแนปส์ มีผลทำให้เกิดการลตหรือเพิ่มความเข้มของสัญญาณ ซึ่งบางสัญญาณมีผลกระตุ้นตัวเซลล์ บางสัญญาณมีผลยับยั้งตัวเซลล์ เมื่อผลรวมของสัญญาณทั้งหมดมากกว่าค่าเทรตโฮล (Threshold) นิวรอนจะส่งสัญญาณโดยผ่านแอกซอนไปให้นิวรอนอื่นในทันที กล่าวโดยสรุปว่า นิวรอนหรือเซลล์ประสาทจะทำหน้าที่ 2 ประการคือ ทำการคำนวณ และส่งผลการคำนวณผ่านปลายหนึ่งของเซลล์ไปให้เซลล์อื่นต่อไป

### คอมพิวเตอร์นิวรอนเน็ตเวิร์ค

นิวรอนเน็ตเวิร์คในแง่ของคอมพิวเตอร์ประกอบด้วยหน่วยหรือส่วนประมวลผล (Processing Elements) เชื่อมโยงกันหลายๆตัวในลักษณะขนาน คล้ายกับนิวรอนในสมองมนุษย์ ซึ่งมีลักษณะเป็นสถาปัตยกรรมแบบขนาน (Parallel Architecture) เพื่อแปลงข้อมูลจากรูปหนึ่งไปเป็นอีกรูปหนึ่ง การใช้งานนิวรอนเน็ตเวิร์คจะเป็นไปในรูปการสอน (Training)



รูปที่ 2 อาร์ติฟิเชียลนิวรอนกับแอกติเวชันฟังก์ชัน

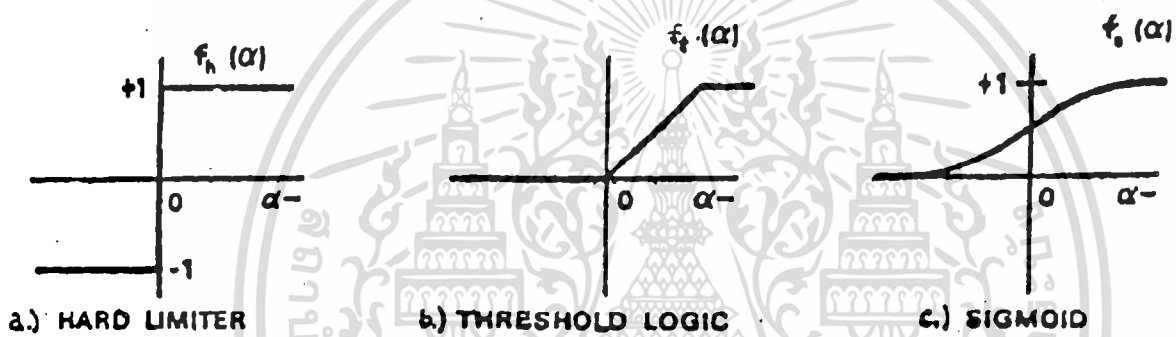
เอกสารนี้เป็นเอกสารที่สงวนไว้สำหรับการใช้งานเพื่อการศึกษาเท่านั้น ไม่อนุญาตให้นำไปใช้ประโยชน์ด้านการค้า ไม่ว่าจะกรณีใดๆทั้งสิ้น อีกทั้งห้ามมิให้ดัดแปลงเนื้อหา และต้องอ้างอิงถึงเจ้าของเอกสารทุกครั้งที่มีการนำไปใช้

จากรูปที่ 2

$$\begin{aligned} \text{net} &= \sum w_i x_i \quad \dots\dots (1) \\ &= x_1 w_1 + x_2 w_2 + \dots + x_n w_n \end{aligned}$$

โดย  $x_1, x_2, \dots, x_n$  เป็นกลุ่มของข้อมูลอินพุต  
 $w_1, w_2, \dots, w_n$  เป็นกลุ่มของตัวเลขน้ำหนัก  
 net เป็นผลรวมผลคูณที่เกิดจากค่าอินพุต (x) คูณกับ ตัวเลขน้ำหนัก (w)

จากรูปที่ 2 นิวรอน 1 โหนดจะมีค่าอินพุตหลายค่า แต่จะมีค่าเอาท์พุทเพียงค่าเดียว โดยเอาท์พุทในแต่ละนิวรอน เกิดจากผลรวมของผลคูณระหว่างอินพุต และตัวเลขน้ำหนัก โดยส่งผ่านให้กับแอกติเวชันฟังก์ชัน (Activation function) ดังในรูปที่ 3



รูปที่ 3 แสดงชนิดของแอกติเวชันฟังก์ชัน

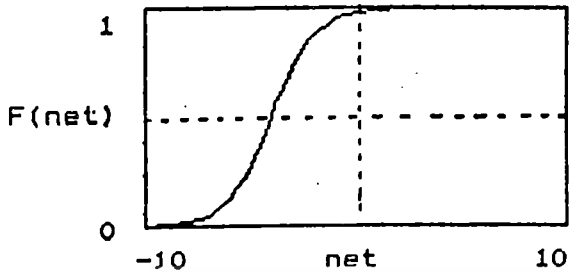
โดยทั่วไปจะเลือกใช้ Sigmoid ฟังก์ชัน เป็นแอกติเวชันฟังก์ชัน ซึ่งมีรูปร่างคล้ายตัวอักษร "S" ในภาษาอังกฤษ เพื่อช่วยขยายสัญญาณ net ในช่วงแคบๆได้ ทำให้ได้ค่าจำกัดในขอบเขตที่ต้องการ โดยได้ผลลัพธ์เพียงค่าเดียวคือ out ซึ่งมีค่าอยู่ในช่วง 0 ถึง 1

$$\text{out} = f(\text{net}) = \frac{1}{1 + e^{-(\text{net} + \theta) / \theta_0}} \quad \dots\dots (2)$$

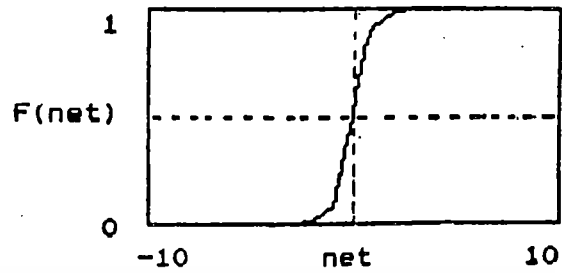
โดย out เป็นค่าสัญญาณเอาท์พุท  
 f เป็นแอกติเวชันฟังก์ชัน ดังในรูปที่ 3  
 θ เป็นค่าเทรชโฮลด์ (Threshold) หรือ ค่าไบอัส (Bias)

เอกสารนี้เป็นเอกสารเป็นค่าที่ใช้ปรับรูปร่างของ Sigmoid ฟังก์ชัน กรุณาให้นำไปใช้ประโยชน์ด้านการค้า ไม่ว่ากรรมใดๆทั้งสิ้น อีกทั้งห้ามมิให้ดัดแปลงเนื้อหา และต้องอ้างอิงถึงเจ้าของเอกสารทุกครั้งที่มีการนำไปใช้

ถ้า  $\theta$  มีค่าเป็นบวก รูป Sigmoid ฟังก์ชันจะเลื่อนไปทางซ้ายตามแนวแกนอน และถ้า  $\theta_0$  มีค่าน้อยมาก จะทำให้รูป Sigmoid ฟังก์ชันมีลักษณะคล้ายรูปฟังก์ชันขั้นบันได



a)  $\theta_0$  มีค่ามากกว่า 0



b)  $\theta_0$  มีค่าน้อยๆ

รูปที่ 4 แสดงผลของไบอัส และค่าที่ใช้ปรับรูปร่างของ Sigmoid ฟังก์ชัน

ข้อสังเกต จากสมการหาค่าผลรวมอินพุต (net) มีค่าเป็นบวกมากๆ เอาท์พุทจะมีค่าเข้าใกล้ 1 ในทางตรงกันข้าม ถ้าผลรวมอินพุต (net) น้อยมากติดลบ ค่าเอาท์พุท (out) จะมีค่าเข้าใกล้ 0 ซึ่งสอดคล้องกับสถานะเปิด (On) และ ปิด (Off)

เน็ตเวิร์คหลายนิวรอนและหลายเลเยอร์

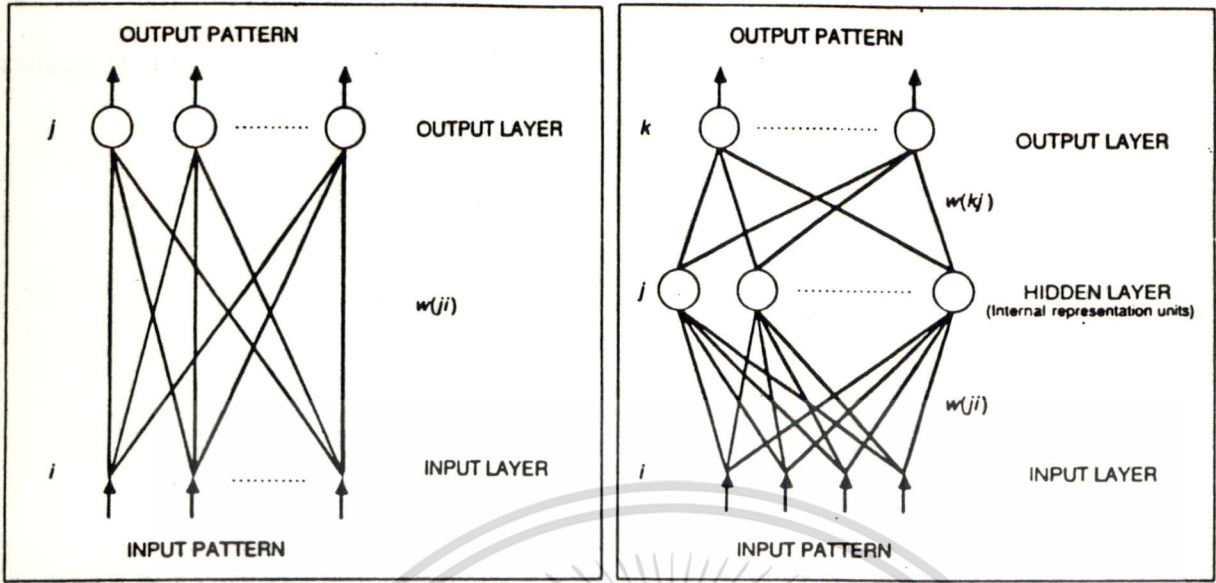
จากที่กล่าวไปในตอนต้นนั้นเป็นเพียงขั้นตอน หรือวิธีการทำงานของนิวรอนเพียงโหนดเดียวซึ่งเทียบได้กับเซลล์เพียงเซลล์เดียว หากประกอบกันเป็นหลายเซลล์ จะต้องให้นิวรอนแต่ละตัวเชื่อมต่อกันทำให้เกิดเป็นเน็ตเวิร์คที่มีลักษณะเป็นชั้นๆ เรียกว่า เลเยอร์ (Layer) ในหนึ่งเลเยอร์สามารถมีจำนวนนิวรอนได้มากกว่า 1 นิวรอน จากรูปภายในเลเยอร์เดียวกันจะไม่มี การเชื่อมต่อกัน และนิวรอนที่มีเลเยอร์ต่ำกว่า จะรับค่ามาจากเอาท์พุทของเลเยอร์ที่อยู่เหนือกว่า เพื่อเป็นอินพุทของตัวเอง จากลักษณะดังกล่าวจะเห็นว่า คุณสมบัติของนิวรอนทุกตัวที่อยู่ในเลเยอร์ที่ต่ำกว่า จะถูกถ่ายทอดไปยังนิวรอนในชั้นถัดไป

รูปที่ 5-a เป็นรูปที่แสดงลักษณะของนิวรอนที่ประกอบกันเป็นเน็ตเวิร์ค แบบเลเยอร์เดียว (Single-layer) โดยในเลเยอร์แรก หรืออินพุทเลเยอร์โดยแท้จริงแล้วไม่ใช้นิวรอน เพราะไม่มีการคำนวณอยู่ภายใน แต่จะแสดงลักษณะการกระจายของค่าอินพุทให้กับนิวรอนในชั้นถัดไปเท่านั้น

รูปที่ 5-b เป็นรูปแสดงลักษณะของเน็ตเวิร์คที่ใหญ่กว่า ซับซ้อนมากกว่า เพื่อให้ใกล้เคียงกับความเป็นจริงของนิวรอนในสมองมนุษย์ โดยอาจมองว่ามัลติเลเยอร์เน็ตเวิร์ค (Multi-layer Neural Networks) เกิดจากการรวมกันของเน็ตเวิร์คแบบเลเยอร์เดียวก็ได้ ซึ่งเอาท์พุทของเลเยอร์หนึ่งจะถูกส่งไปเป็นอินพุทในเลเยอร์ย่อยในชั้นถัดไป

ไม่อนุญาติให้นำไปใช้ประโยชน์ด้านการค้า

ไม่ว่ากรณีใดๆทั้งสิ้น อีกทั้งห้ามมิให้ดัดแปลงเนื้อหา และต้องอ้างอิงถึงเจ้าของเอกสารทุกครั้งที่มีการนำไปใช้

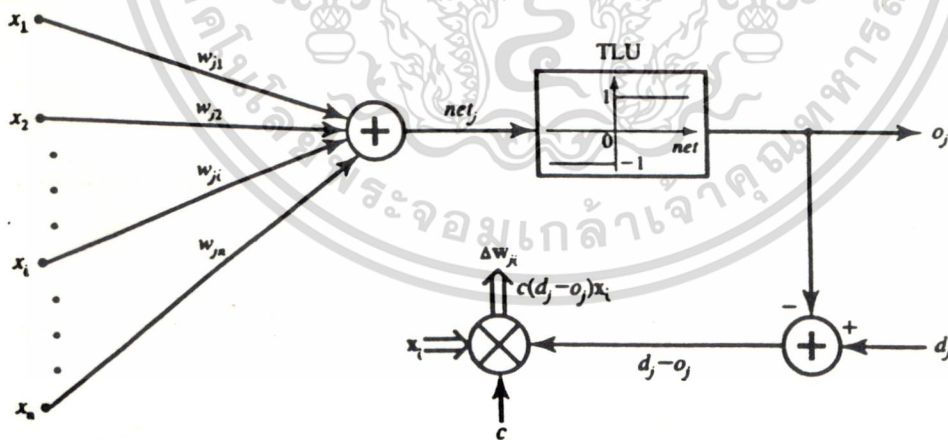


a.) นิวรอลเน็ตเวิร์คแบบชั้นเดียว

b.) นิวรอลเน็ตเวิร์คแบบหลายชั้น

รูปที่ 5 แสดงเน็ตเวิร์คในแต่ละเลเยอร์

เน็ตเวิร์คแบบเลเยอร์เดียวจะมีโครงสร้างไม่ซับซ้อน สามารถเรียนรู้ที่จะจดจำและแยกแยะแพทเทิร์นอย่างง่ายได้ ทฤษฎีที่จะนำมาใช้กับเน็ตเวิร์คแบบเลเยอร์เดียวคือ ทฤษฎีของ เปอเซตรอน (Rosenblatt 1958) [3] ดังในรูปที่ 6 โดยใช้แอกติเวชันฟังก์ชันแบบ Hard Limiter (Binary function) ดังในรูป 3a ซึ่งใช้การเรียนรู้แบบมีครูสอน (Supervised)



รูปที่ 6 แสดงโครงสร้างเน็ตเวิร์คแบบเปอเซตรอน

จากรูป ผลรวมของค่าอินพุตแพทเทิร์น  $(x_1, \dots, x_n)$  ในเลเยอร์  $i$  คูณกับตัวเลขน้ำหนัก  $(w_{ji})$  จะถูกส่งไปยังแอกติเวชันฟังก์ชันแบบ Hard Limiter ได้ค่าเอาต์พุต  $(o_j)$  ในเลเยอร์  $j$  ซึ่งค่าเอาต์พุตจะมีค่าเป็น 1 หรือ -1 ค่าใดค่าหนึ่งเท่านั้น จากนั้นค่าเอาต์พุตจะถูกรับเป็นเอคซิทชันสำหรับชั้นถัดไปเพื่อที่จะใช้กับฟังก์ชันการคำนวณตามนั้น ไม่อนุญาตให้นำไปใช้ประโยชน์ด้านการคำนวณ (3) ไม่ว่าจะผิดๆ ที่สิ้น อีกทั้งห้ามมิให้ตัดแปลงเนื้อหา และต้องอ้างอิงถึงเจ้าของเอกสารทุกครั้งที่มีการนำไปใช้

$$E = - \sum_j \frac{1}{2} (d_j - o_j)^2 \quad \dots\dots (5)$$

ซึ่งเท่ากับ

$$= - \sum_j \frac{1}{2} [d_j - f(\sum_i w_{ji} x_i)]^2 \quad \dots\dots (6)$$

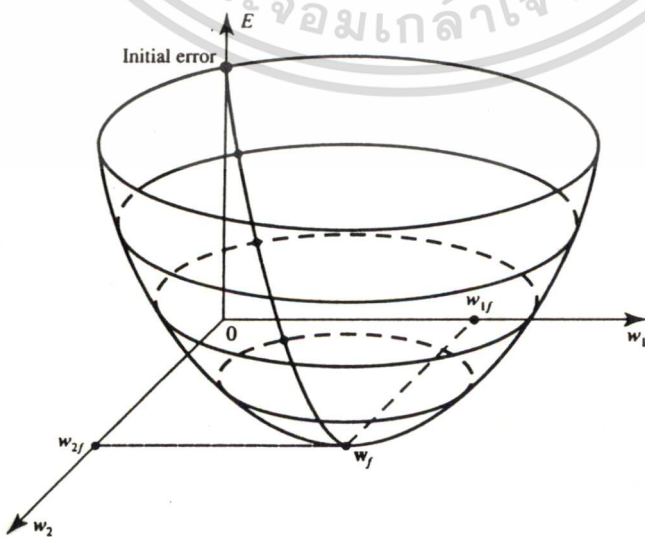
เพื่อให้ได้ค่าผิดพลาดต่ำสุดควรปรับเปลี่ยนตัวเลขน้ำหนักในทิศทางลบของ gradient  
ได้ว่า

$$\Delta w_{ji} = -c (\nabla E) \quad \dots\dots (7)$$

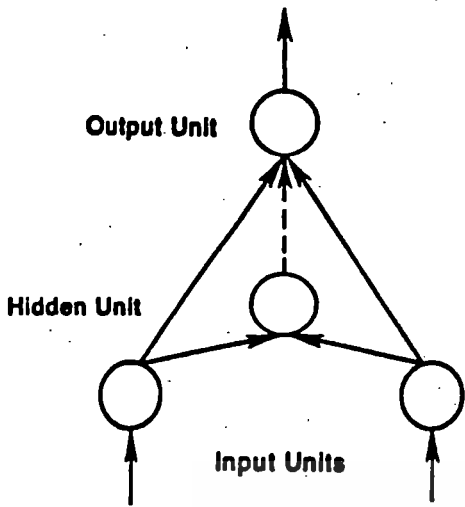
$$= c (d_j - o_j) f'(net_j) x_i \quad \dots\dots (8)$$

- $\Delta w_{ji}$  ค่าตัวเลขน้ำหนักที่เปลี่ยนไป
- $c$  ค่าคงที่การเรียนรู้
- $f$  เป็นแอคติเวชันฟังก์ชันแบบ Sigmoid
- $f'$  ดิฟเฟอเรนเชียลของแอคติเวชันฟังก์ชันแบบ Sigmoid

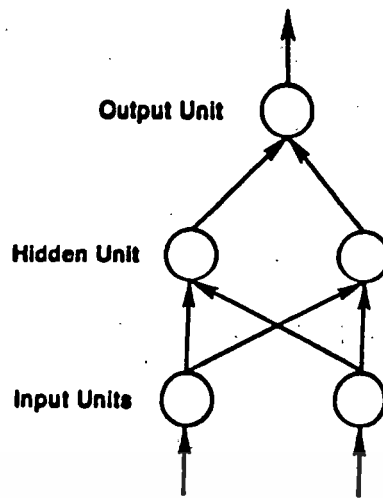
แสดงกราฟที่เกิดขึ้นตามทฤษฎี negative-gradient descent ดังในรูปที่ 8 โดยกำหนดค่าตัวเลขน้ำหนักเริ่มต้น  $w_1$  และ  $w_2$  เป็น 0 พิจารณากราฟที่เกิดขึ้นระหว่างค่าผิดพลาด ( $E$ ) และค่าตัวเลขน้ำหนัก  $w_1$  และ  $w_2$  จะเห็นว่าเมื่อเวลาผ่านไป ส่วนค่าตัวเลขน้ำหนักนั้นจะถูกปรับเปลี่ยนไปจนกระทั่งได้ค่าผิดพลาด  $E(w_f) = 0$



เอกสารนี้เป็นเอกสารที่สงวนไว้สำหรับใช้ในวงจำกัดเพื่อวัตถุประสงค์เฉพาะเท่านั้น ไม่สามารถให้นำไปใช้ประโยชน์ด้านการค้า  
**8) กราฟแสดงค่าผิดพลาดต่ำสุดและสอนเน็ตเวิร์ค**  
 ไม่ว่ากรณีใดๆทั้งสิ้น อีกทั้งห้ามมิให้ตัดแปลงเนื้อหา และต้องอ้างอิงถึงเจ้าของเอกสารทุกครั้งที่มีการนำไปใช้



a) แบบที่ 1



b) แบบที่ 2

รูปที่ 9 แสดงโครงสร้างเน็ตเวิร์คสำหรับเอ็กซ์คลูซีฟออร์

รูป 9a) ในฮิดเดนเลเยอร์มีนิวรอนเพียงโหนดเดียว ลักษณะโครงสร้างเน็ตเวิร์ค นิวรอนในอินพุทเลเยอร์จะเชื่อมต่อกับนิวรอนในฮิดเดนเลเยอร์และเอาต์พุทเลเยอร์โดยตรง

รูป 9b) แสดงลักษณะของเน็ตเวิร์คแบบมัลติเลเยอร์เน็ตเวิร์ค หากเปรียบเทียบกับรูป 9a) จะเห็นว่าโหนดในอินพุทเลเยอร์จะไม่มีการเชื่อมต่อกับนิวรอนในฮิดเดนเลเยอร์โดยตรง และโครงสร้างในลักษณะนี้จะต้องกำหนดจำนวนนิวรอนในฮิดเดนเลเยอร์ให้มากพอ จึงจะสามารถแก้ปัญหาของเอ็กซ์คลูซีฟออร์ได้

จะเห็นว่า โครงสร้างเน็ตเวิร์คดังในรูปที่ 9 เป็นเน็ตเวิร์คแบบหลายเลเยอร์ซึ่งไม่สามารถใช้ทฤษฎีของเพอเซพตรอนหรือ Delta rule อธิบายได้ ดังนั้นจะขอก้าวถึงทฤษฎีต่อไป

ลติเลเยอร์แบ็คพร็อพกาเกชั่น (Multi-layer Back Propagation)

ทฤษฎีแบ็คพร็อพกาเกชั่น (Back Propagation) ใช้กับเน็ตเวิร์คแบบหลายเลเยอร์ วยรูปแบบการเรียนรู้แบบมีครูสอน (Supervised Learning) และมีพื้นฐานทางคณิตศาสตร์ ับสนุนเป็นอย่างดี หลักการสำคัญของแบ็คพร็อพกาเกชั่นคือการปรับและเปลี่ยนตัวเลขน้ำหนักจน ่าค่าผิดพลาดเฉลี่ยของระบบ (E) จะมีค่าผิดพลาดเฉลี่ยต่ำสุดที่สามารถยอมรับได้ (E<sub>u</sub>)

$$E_u = - \sum_k (d_{pk} - o_{pk})^2 \dots\dots (9)$$

เอกสารนี้เป็นเอกสารที่สงวนไว้สำหรับการใช้งานเพื่อการศึกษาเท่านั้น ไม่อนุญาตให้นำไปใช้ประโยชน์ด้านการค้า ไม่ว่ากรณีใดๆทั้งสิ้น อีกทั้งห้ามมิให้ตัดแปลงเนื้อหา และต้องอ้างอิงถึงเจ้าของเอกสารทุกครั้งที่มีการนำไปใช้

$$E = - \sum_p E_p \quad \dots (10)$$

เพื่อหาค่าต่ำสุดของผลต่างกำลังสองระหว่าง ค่าเอาท์พุทที่ได้จากการคำนวณ ( $o_{pk}$ ) และค่าเอาท์พุทจริงที่ต้องการ ( $d_{pk}$ ) โดยค่าผิดพลาดทั้งหมดของแพทเทิร์น  $p$  ( $E_p$ ) เกิดจากผลต่างของเอาท์พุทจริงที่ต้องการ และค่าเอาท์พุทที่ได้จากการคำนวณในเลเยอร์  $k$  จากสูตรจะเห็นว่า หากต้องการให้ค่าผิดพลาดของระบบลดลง จะต้องให้ผลต่างกำลังสองรวมเข้าใกล้ศูนย์ เนื่องจากค่า  $t_{pk}$  ไม่มีการเปลี่ยนแปลง เพราะฉะนั้นสิ่งที่ทำได้คือ พยายามทำให้ค่า  $o_{pk}$  มีค่าเข้าใกล้  $t_{pk}$  มากที่สุด เนื่องจาก  $o_{pk}$  มีความสัมพันธ์กับค่าตัวเลขน้ำหนักในนิวรอนเน็ตเวิร์ค ดังนั้นการปรับค่าตัวเลขน้ำหนักจนได้ค่าเหมาะสม จะมีผลทำให้ค่าผิดพลาดของระบบลดลง โดยหาค่าดีฟเฟอเรนเชียลของค่าผิดพลาดที่คำนวณได้ กับค่าตัวเลขน้ำหนักที่เปลี่ยนไปในลักษณะเชิงเส้น

$$\Delta_p w_{kj} \propto - \frac{\partial E_p}{\partial w_{kj}} \quad \dots (11)$$

เมื่อ  $w_{kj}(t+1) = w_{kj}(t) + \Delta_p w_{kj} \quad \dots (12)$

โดย  $w_{kj}(t+1)$  ค่าตัวเลขน้ำหนักระหว่างเลเยอร์  $k$  ไปเลเยอร์  $j$  หลังจากปรับค่าแล้ว  
 $w_{kj}(t)$  ค่าตัวเลขน้ำหนักระหว่างเลเยอร์  $k$  ไปเลเยอร์  $j$  ก่อนการปรับค่า  
 $\Delta_p w_{kj}$  ค่าตัวเลขน้ำหนักที่เปลี่ยนไปได้จากการคำนวณ  
 $t$  เป็นเวลาขณะใดๆ ,  $t+1$  เป็นเวลาถัดไป

จากสมการ เมื่อความชันของค่าความผิดพลาด ( $\partial E_p / \partial w_{kj}$ ) ลดลง จะมีผลทำให้ค่าตัวเลขน้ำหนักที่เปลี่ยนไป ( $\Delta_p w_{kj}$ ) ลดลงด้วย วิธีการนี้จะกระทำซ้ำไปซ้ำมา จึงจะได้ค่าที่ต้องการซึ่งเราเรียกว่า การสอน (Training) เน็ตเวิร์คจะทำงาน จนกระทั่ง ค่าความชันของค่าผิดพลาดเข้าใกล้ศูนย์ด้วย นั่นคือค่าเอาท์พุทที่ได้จากการคำนวณ จะมีค่าใกล้เคียงกับค่าเอาท์พุทที่เราต้องการมากที่สุด จากสมการ (11) สามารถทำเป็นสมการเชิงเส้นได้ดังนี้

$$\Delta_p w_{kj} = - \eta \frac{\partial E_p}{\partial w_{kj}} \quad \dots (13)$$

เอกสารนี้เป็นเอกสารที่สงวนไว้สำหรับการใช้งานเพื่อการศึกษาเท่านั้น ไม่อนุญาตให้นำไปใช้ประโยชน์ด้านการค้า ไม่ว่ากรณีใดๆทั้งสิ้น อีกทั้งห้ามมิให้ตัดแปลงเนื้อหา และต้องอ้างอิงถึงเจ้าของเอกสารทุกครั้งที่มีการนำไปใช้

	INPUT			OUTPUT
	O <sub>0</sub>	O <sub>1</sub>	O <sub>2</sub>	O <sub>5</sub>
PATTERN NO. 1	1	0	0	0
PATTERN NO. 2	1	0	1	1
PATTERN NO. 3	1	1	0	1
PATTERN NO. 4	1	1	1	0

ตารางที่ 3

การเรียนรู้จะเริ่มหลังจากการกำหนดค่าเริ่มต้นแบบสุ่มให้กับ  $W$  ซึ่งเป็นค่าตัวเลขน้ำหนักแบบเวกเตอร์จากอินพุตเลเยอร์ไปยังฮิดเดนเลเยอร์ และ  $V$  ซึ่งเป็นค่าตัวเลขน้ำหนักแบบเวกเตอร์จากฮิดเดนเลเยอร์ไปยังเอาต์พุตเลเยอร์ เพื่อใช้เป็นค่าเริ่มต้นในการคำนวณต่อไป

$$W = \begin{bmatrix} w_{50} & w_{53} & w_{54} \end{bmatrix} = \begin{bmatrix} 0.082 & -0.106 & 0.086 \end{bmatrix}$$

$$V = \begin{bmatrix} w_{30} & w_{31} & w_{32} \\ w_{40} & w_{41} & w_{42} \end{bmatrix} = \begin{bmatrix} 0.096 & -0.032 & 0.080 \\ -0.137 & 0.051 & -0.068 \end{bmatrix}$$

อินพุต  $o_1, o_2$  เริ่มต้นกำหนดให้เป็นแพทเทิร์นแรก  $o_1=0, o_2=0$  และ  $o_0=1$  จะถูกคำนวณไปพร้อมกันแบบ Feed-forward เพื่อให้ได้ค่า  $o_3, o_4$  และ  $o_5$  โดยกำหนด แอคติเวชันฟังก์ชันดังสมการ (21) และ (23)

$$o_5 = f(\text{net}_5) = \frac{-(w_{50}o_0 + w_{53}o_3 + w_{54}o_4)}{1 + e} \dots (25)$$

จากนั้นจะคำนวณหาสัญญาณผิดพลาด  $\delta_5$  จากสมการ (16) เมื่อ  $f'(\text{net}_5) = o_5(1 - o_5)$

$$\delta_5 = [o_5(1 - o_5)](d_5 - o_5) \dots (26)$$

และจะคำนวณหาสัญญาณผิดพลาด  $\delta_3$  และ  $\delta_4$  จากสมการ (19) สำหรับฮิดเดนเลเยอร์ เอกสารนี้เป็นเอกสารที่สงวนไว้สำหรับการใช้งานเพื่อการศึกษาเท่านั้น ไม่อนุญาตให้นำไปใช้ประโยชน์ด้านการค้า ไม่ว่ากรณีใดๆทั้งสิ้น อีกทั้งห้ามมิให้ดัดแปลงเนื้อหา และต้องอ้างอิงถึงเจ้าของเอกสารทุกครั้งที่มีการนำไปใช้

$$\delta_3 = f'(net_3) \sum_{k=5}^5 \delta_k w_{k3} \dots (27)$$

$$\delta_4 = f'(net_4) \sum_{k=5}^5 \delta_k w_{k4} \dots (28)$$

ใช้สมการ (24) เพื่อแทนค่าหา  $f'(net_3)$  และ  $f'(net_4)$

$$\delta_3 = [o_3 (1 - o_3)] \delta_5 w_{53} \dots (29)$$

$$\delta_4 = [o_4 (1 - o_4)] \delta_5 w_{54} \dots (30)$$

ตอนนี้ค่าตัวเลขน้ำหนักที่ถูกปรับ  $\Delta w_{kj}$  และ  $\Delta w_{ji}$  จะสามารถคำนวณได้เมื่อกำหนดค่าคงที่อัตราเรียนรู้ ( $\eta$ ) โดยจะเริ่มคำนวณค่าตัวเลขน้ำหนักในเลเยอร์เอาต์พุตก่อน จากสมการ (17)

$$\Delta w_{50} = \eta \delta_5 o_0 = \eta \delta_5 \dots (31)$$

$$\Delta w_{53} = \eta \delta_5 o_3 \dots (32)$$

$$\Delta w_{54} = \eta \delta_5 o_4 \dots (33)$$

การปรับค่าตัวเลขน้ำหนักในอิดเดนเลเยอร์จะสัมพันธ์กับนิวรอนในโหนด #3 และ #4 โดยคำนวณจากสมการ (20)

$$\Delta w_{30} = \eta \delta_3 o_0 = \eta \delta_3 \dots (34)$$

$$\Delta w_{31} = \eta \delta_3 o_1 \dots (35)$$

$$\Delta w_{32} = \eta \delta_3 o_2 \dots (36)$$

และ

$$\Delta w_{40} = \eta \delta_4 o_0 \dots (37)$$

$$\Delta w_{41} = \eta \delta_4 o_1 \dots (38)$$

เอกสารนี้เป็นเอกสารที่สงวนไว้สำหรับการใช้งานเพื่อการศึกษาเท่านั้น ไม่อนุญาตให้นำไปใช้ประโยชน์ทางการค้า  
 $\Delta w_{42} = \eta \delta_4 o_2 \dots (39)$   
 ไม่ว่ากรณีใดๆทั้งสิ้น อีกทั้งห้ามมิให้ตัดแปลงเนื้อหา และต้องอ้างอิงถึงเจ้าของเอกสารทุกครั้งที่มีการนำไปใช้

ที่ผ่านมาเป็นการคำนวณเพื่อปรับเปลี่ยนค่าตัวเลขน้ำหนัก  $\Delta_p w_{k,j}$  และ  $\Delta_p w_{j,i}$  เฉพาะแพทเทิร์นแรกเท่านั้น จะต้องมีการคำนวณเข้าไปซ้ำมา โดยกำหนดอินพุต  $o_1$  และ  $o_2$  เป็นแพทเทิร์นสองสามและสี่ ตามลำดับ ทั้งหมดถือเป็นหนึ่งรอบ การคำนวณจะสิ้นสุดต่อเมื่อค่าผิดพลาดเฉลี่ยของระบบ (E) จะมีค่าน้อยกว่าหรือเท่ากับค่าผิดพลาดเฉลี่ยต่ำสุดที่สามารถยอมรับได้ ( $E_u$ ) หากกำหนดให้  $E_u$  เท่ากับ 0.001 จะได้จำนวนรอบการเรียนรู้ที่เกิดขึ้นทั้งหมด 3,567 รอบ และได้ผลลัพธ์สุดท้ายของค่าตัวเลขน้ำหนัก W และ V เพื่อนำไปใช้งานต่อไป

$$W = \begin{bmatrix} w_{50} & w_{53} & w_{54} \end{bmatrix} = \begin{bmatrix} -3.714 & -8.288 & 8.048 \end{bmatrix}$$

$$V = \begin{bmatrix} w_{30} & w_{31} & w_{32} \\ w_{40} & w_{41} & w_{42} \end{bmatrix} = \begin{bmatrix} 2.314 & -6.007 & -6.058 \\ 5.993 & -4.061 & -4.066 \end{bmatrix}$$

### บทวิเคราะห์

1. dummy นิวรอลที่เพิ่มขึ้นมาแท้จริงแล้วคือ ไบอัสของระบบ  $o_k$  และ  $o_j$  เมื่อกำหนดอินพุต  $o_0$  เป็นค่าคงที่เท่ากับ 1 ได้จากสมการ (21) และ (23) ตามลำดับ จากการทดสอบหากไม่มี dummy นิวรอลโหนดจะไม่สามารถเรียนรู้ได้สำเร็จ ยกเว้น จะเพิ่มจำนวนนิวรอลโหนดในฮิดเดนเลเยอร์จาก 2 เป็น 4, 5, ...
2. หากเพิ่มจำนวนนิวรอลโหนดในฮิดเดนเลเยอร์มากขึ้น จะทำให้การเรียนรู้ดีขึ้น
3. การทดสอบปัญหาของเอ็กซ์คลูซีฟเวอร์ โดยใช้โครงสร้างเน็ตเวิร์คดังในรูป 9a) และ 9b) จะให้ผลลัพธ์เหมือนกัน แต่ในรายงานฉบับนี้จะขอเสนอเฉพาะการทดสอบกับโครงสร้างเน็ตเวิร์คดังในรูป 9b) เท่านั้น

### ทดสอบการทำงานตอนที่ 2

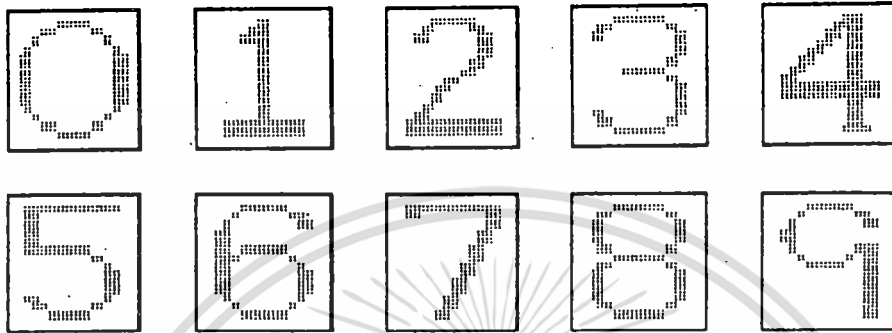
จากความรู้เรื่องเอ็กซ์คลูซีฟเวอร์ ทำให้สามารถเข้าใจโครงสร้างพื้นฐานอย่างง่ายของมัลติเลเยอร์เพอเซพตรอนเน็ตเวิร์คได้เป็นอย่างดี เนื่องจากโครงสร้างเน็ตเวิร์คมีขนาดเล็ก จำนวนอินพุตโหนดและเอาต์พุตโหนดน้อย จึงสามารถศึกษาขั้นตอนการทำงานได้ง่ายขึ้น

ต่อไปจะนำเสนอหลักการและวิธีการทำงานของทฤษฎีนี้ครบรอบมาเกิน เพื่อนำไปประยุกต์ใช้จดจำและแยกแยะแพทเทิร์นแพทเทิร์นตัวอักษรตัวเลขแบบตัวพิมพ์ เพื่อใช้เป็นแนวทางในการศึกษาและพัฒนาเกี่ยวกับงานทางด้าน OCR ในอนาคต

ไม่ว่ากรณีใดๆทั้งสิ้น อีกทั้งห้ามมิให้คัดแปลงเนื้อหา และต้องอ้างอิงถึงเจ้าของเอกสารทุกครั้งที่มีการนำไปใช้

ก่อนที่จะแสดงลำดับและขั้นตอนการทำงานของโปรแกรม ควรที่จะกำหนดโครงสร้างเน็ตเวิร์คและกำหนดรูปแบบของแพทเทิร์นที่จะใช้ทดสอบก่อน

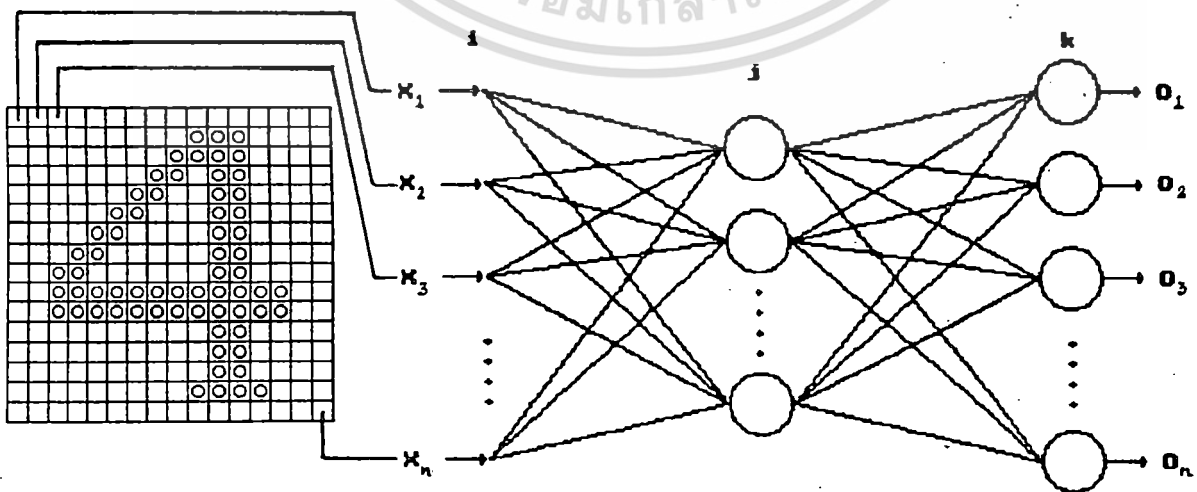
1. ข้อกำหนดเบื้องต้นเพื่อให้คอมพิวเตอร์สามารถเรียนรู้และจดจำแพทเทิร์นตัวอักษรตัวเลขแบบตัวพิมพ์ที่นำมาทดสอบ ได้มีการพัฒนาเขียนซอฟต์แวร์ขึ้น เพื่อทดสอบการจดจำตัวอักษรตัวเลขแบบตัวพิมพ์ตั้งแต่ "0" ถึง "9" (ทั้งหมด 10 แพทเทิร์นตัวเลข,  $p=1$  ถึง 10) โดยแพทเทิร์นตัวเลขแต่ละตัวมีขนาด  $16 \times 16$  บิตแพทเทิร์น (256 บิตแพทเทิร์น)



รูปที่ 11 แสดงแพทเทิร์นตัวอักษรตัวเลข "0".."9"

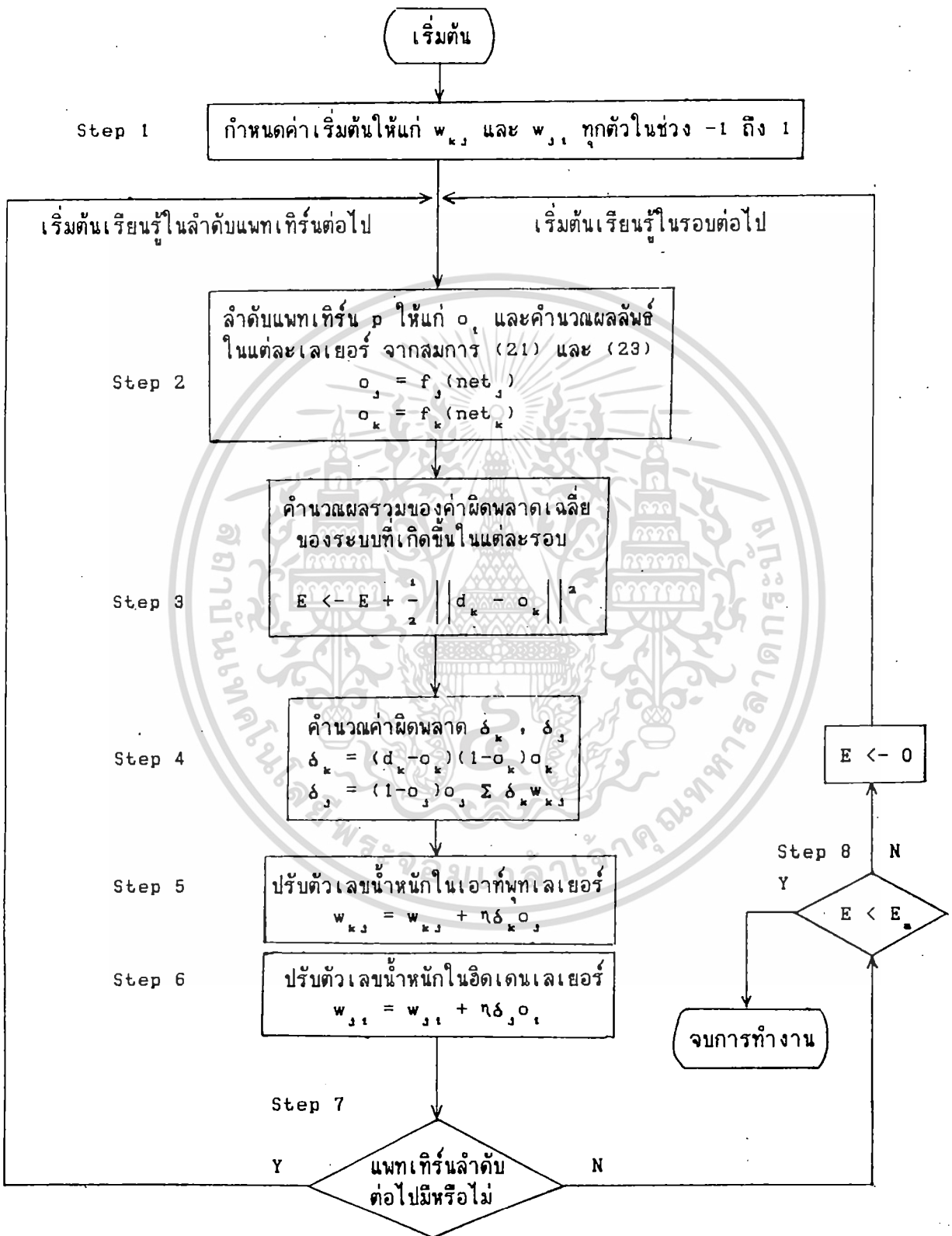
แพทเทิร์นที่ปรากฏดังในรูปที่ 11 สามารถมองเห็นได้จากจอมอนิเตอร์ แสดงผลในลักษณะเป็นบิต (ค่า 0 ลักษณะปิดหรือ 1 ลักษณะเปิด) ซึ่งจุดแต่ละจุดที่มองเห็นจะถูกนำมาเป็นอินพุต ( $o_{pi}$ ) ของนิวรอลเน็ตเวิร์ค โดย  $i=1..256$  และ ค่าเอาต์พุตที่ต้องการ ( $o_{pk}$ ) ของนิวรอลเน็ตเวิร์ค ถูกกำหนดให้เป็น 1 เมื่อ  $p=k$  โดย  $k=1..10$

2. กำหนดจำนวนเลเยอร์ทั้งหมดในการทดสอบเพียง 3 เลเยอร์คือ อินพุตเลเยอร์ ฮิดเดนเลเยอร์ และเอาต์พุตเลเยอร์ โดยฮิดเดนเลเยอร์จะมีจำนวนนิวรอล 120 นิวรอล โหนด  $j=1..120$  ดังในรูป



รูปที่ 12 แสดงโครงสร้างการทำงานของนิวรอลเน็ตเวิร์ค

ขั้นตอนการคำนวณ



เอกสารนี้เป็นเอกสารที่ขยงวนไว้สำหรับการใช้งานเพื่อการศึกษาเท่านั้น ไม่อนุญาตให้นำไปใช้ประโยชน์ด้านการค้า  
 รูปที่ 13 ขั้นตอนการทำงานของโปรแกรมในรูปแบบของโฟลชาร์ต  
 ไม่ว่าจะกรณีใดๆทั้งสิ้น อีกทั้งห้ามมิให้คัดแปลงเนื้อหา และต้องอ้างอิงถึงเจ้าของเอกสารทุกครั้งที่มีการนำไปใช้

1. เริ่มแรกจะต้องให้ค่าเริ่มต้นแก่ค่าตัวเลขน้ำหนัก ( $w$ ) ทุกตัว ในลักษณะสุ่มเป็นค่า  
น้อยๆ โดยจำกัดในช่วง  $0.0-1.0$  ทุกตัว

2. จัดลำดับของอินพุต  $o_{p1}$  ( $o_{p1}, \dots, o_{p256}$ ) และค่าเอาต์พุต  $t_{pk}$  ( $t_{p1}, \dots, t_{p10}$ ) ในแต่ละแพทเทิร์นให้สัมพันธ์กัน สามารถแสดงผลออกทางจอภาพได้ในลักษณะเป็นบิต  
โดย

$$o_{11} \text{ คือแพทเทิร์นตัวเลข } 0, \quad t_{1k} = [1 \ 0 \ 0 \ 0 \ 0 \ 0 \ 0 \ 0 \ 0 \ 0]$$

$$o_{21} \text{ คือแพทเทิร์นตัวเลข } 1, \quad t_{2k} = [0 \ 1 \ 0 \ 0 \ 0 \ 0 \ 0 \ 0 \ 0 \ 0]$$

$$o_{31} \text{ คือแพทเทิร์นตัวเลข } 2, \quad t_{3k} = [0 \ 0 \ 1 \ 0 \ 0 \ 0 \ 0 \ 0 \ 0 \ 0]$$

.  
.  
.  
.

$$o_{101} \text{ คือแพทเทิร์นตัวเลข } 9, \quad t_{10k} = [0 \ 0 \ 0 \ 0 \ 0 \ 0 \ 0 \ 0 \ 0 \ 1]$$

สอนเน็ตเวิร์คจนได้ค่าตัวเลขน้ำหนักที่ไม่มีการเปลี่ยนแปลง หรือค่าค่าผิดพลาดเฉลี่ย  
ของระบบ ( $E$ ) มีค่าน้อยกว่าค่าผิดพลาดเฉลี่ยของระบบที่ยอมรับได้ ( $E_c$ ) กำหนดให้เท่ากับ  $0.001$

3. คำนวณหาค่าเอาต์พุต ( $o_{pj}$ ) และ ( $o_{pk}$ ) ในลักษณะไปข้างหน้า (Feed-  
forward) โดยใช้ทฤษฎีของเบ็คพร็อบพาเก้น เมื่อ  $o_j$  และ  $o_k$  เป็นไบอัสของระบบ

$$net_{pj} = \sum_i w_{ji} o_{pi} \quad \dots (40)$$

$$o_{pj} = f_j(net_{pj}) = \frac{1}{1 + e^{-net_{pj} + \theta_j}} \quad \dots (41)$$

$$net_{pk} = \sum_j w_{kj} o_{pj} \quad \dots (42)$$

$$o_{pk} = f_k(net_{pk}) = \frac{1}{1 + e^{-net_{pk} + \theta_k}} \quad \dots (43)$$

เอกสารนี้เป็นเอกสารที่สงวนไว้สำหรับการใช้งานเพื่อการศึกษาเท่านั้น ไม่อนุญาตให้นำไปใช้ประโยชน์ด้านการค้า  
ไม่ว่ากรณีใดๆทั้งสิ้น อีกทั้งห้ามมิให้ตัดแปลงเนื้อหา และต้องอ้างอิงถึงเจ้าของเอกสารทุกครั้งที่มีการนำไปใช้

4. ปรับค่าตัวเลขน้ำหนักในแต่ละคู่เลเยอร์ ในลักษณะป้อนกลับ (Feedback) โดยเริ่มจากเอาต์พุตเลเยอร์ก่อน

$$w_{kj}(t+1) = w_{kj}(t) + \eta \delta_{pk} o_{pj} \dots (44)$$

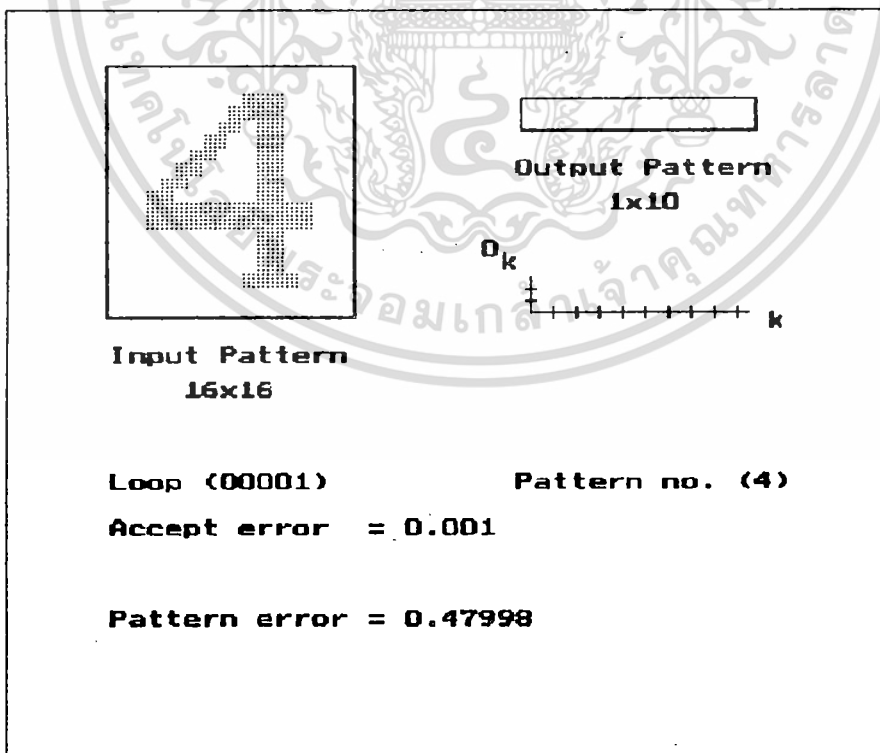
$$= w_{kj}(t) + \eta [o_{pk}(1-o_{pk})(t_{pk}-o_{pk})] o_{pj} \dots (45)$$

$w_{kj}(t)$  เป็นค่าตัวเลขน้ำหนักจากฮิดเดนเลเยอร์ (j) ไปยังเอาต์พุตเลเยอร์ (k) ที่เวลา t โดยที่ t และ t+1 เป็นเวลาถัดไป กำหนดค่าอัตราการเรียนรู้ ( $\eta$ ) ในการทดสอบมีค่าเท่ากับ 0.5 จากนั้นปรับค่าตัวเลขน้ำหนักคู่เลเยอร์ถัดไปในลักษณะเดียวกัน

$$w_{ji}(t+1) = w_{ji}(t) + \eta \delta_{pj} o_{pi} \dots (46)$$

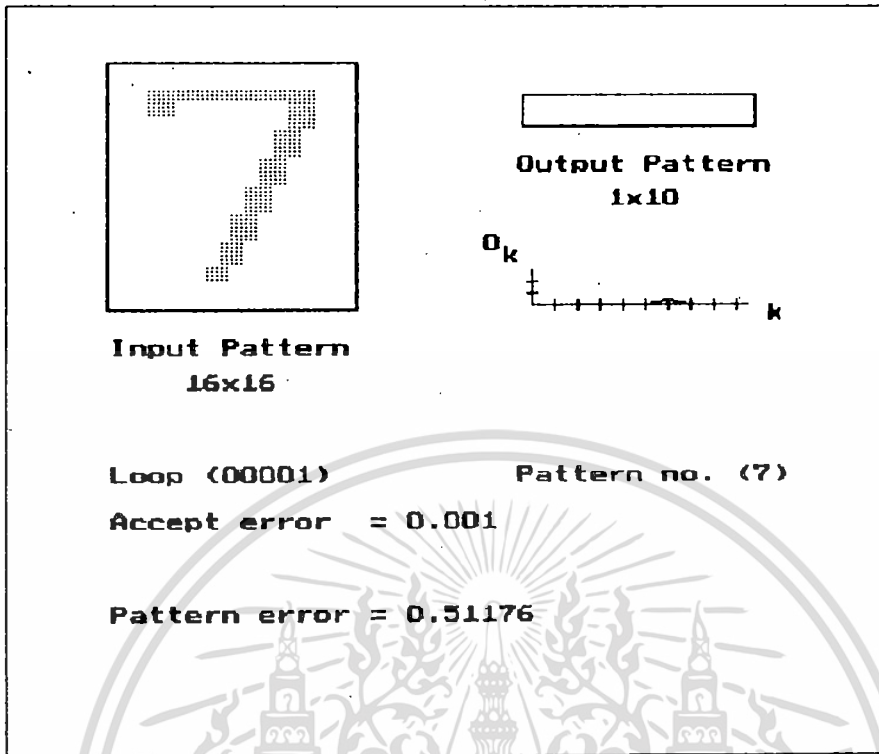
$$= w_{ji}(t) + \eta [o_{pj}(1-o_{pj}) \sum_k (\delta_{pk} w_{kj})] o_{pi} \dots (47)$$

5. เปลี่ยนเป็นแพทเทิร์นลำดับต่อไป แล้วกลับไปคำนวณในข้อ 2

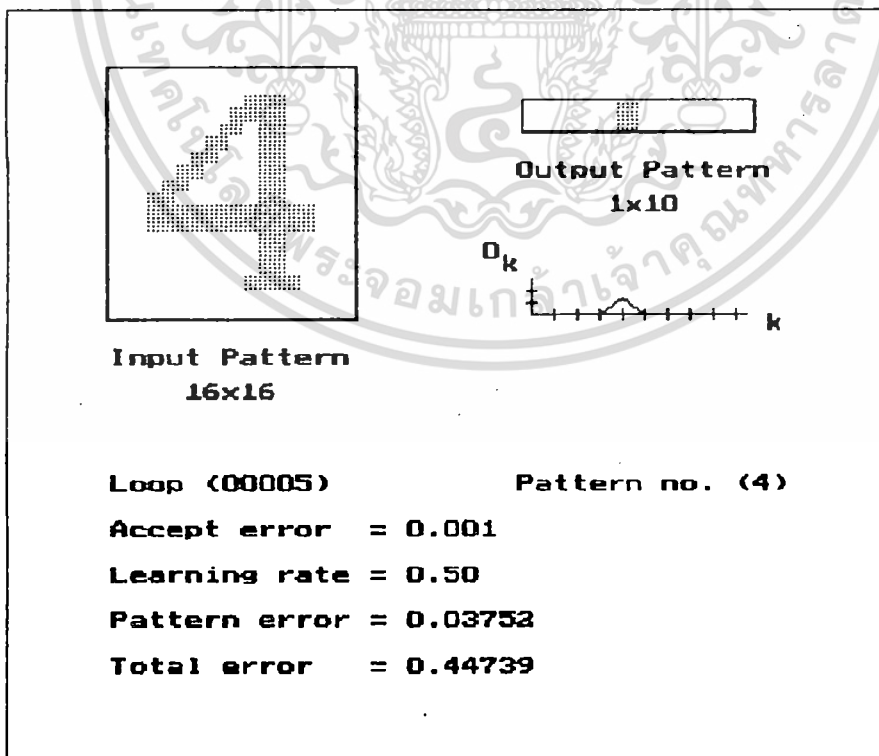


a) แสดงการสอนแพทเทิร์นตัวอักษรตัวเลข "4" ในรอบที่ 1

เอกสารนี้เป็นเอกสารที่สงวนไว้สำหรับการใช้งานเพื่อการศึกษาเท่านั้น ไม่อนุญาตให้นำไปใช้ประโยชน์ด้านการค้า ไม่ว่ากรณีใดๆทั้งสิ้น อีกทั้งห้ามมิให้ดัดแปลงเนื้อหา และต้องอ้างอิงถึงเจ้าของเอกสารทุกครั้งที่มีการนำไปใช้

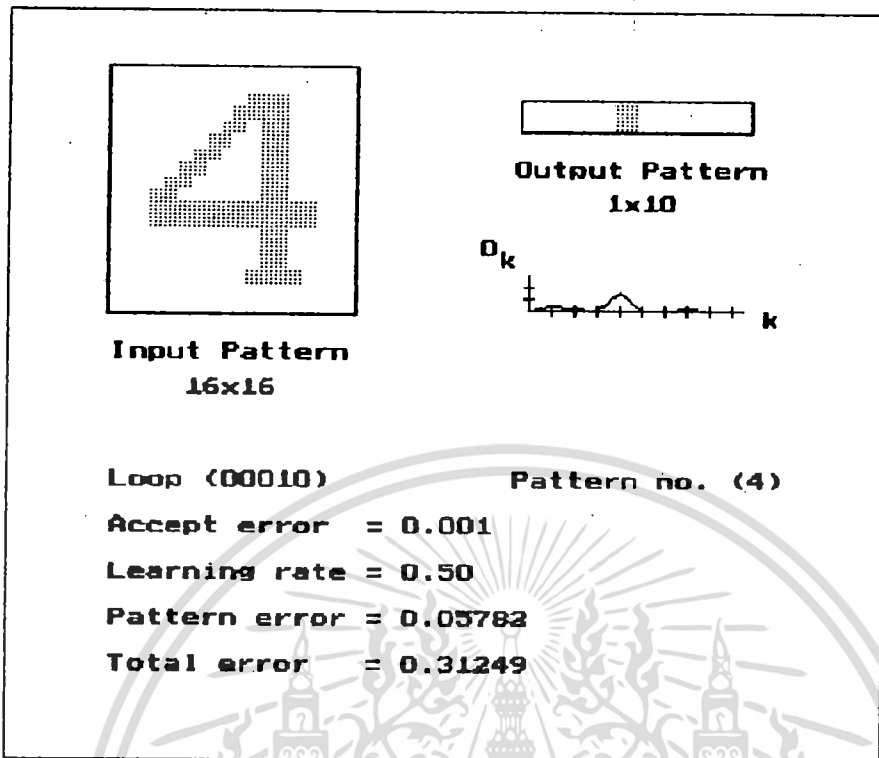


b) แสดงการสอนแพทเทิร์นตัวอักษรตัวเลข "7" ในรอบที่ 1

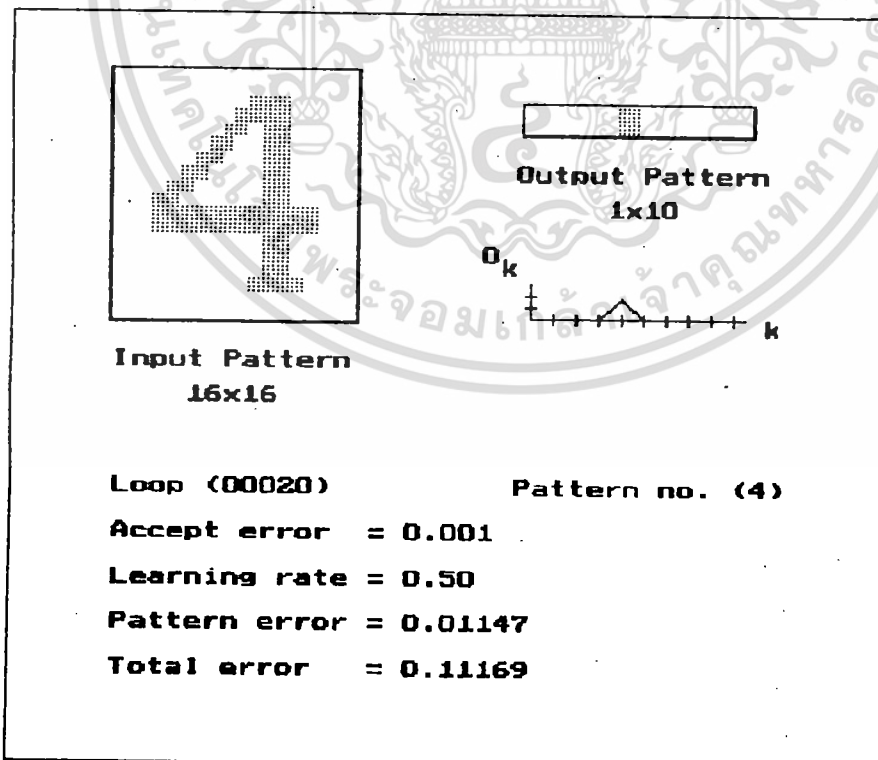


c) แสดงการสอนแพทเทิร์นตัวอักษรตัวเลข "4" ในรอบที่ 5

เอกสารนี้เป็นเอกสารที่สงวนไว้สำหรับการใช้งานเพื่อการศึกษาเท่านั้น ไม่อนุญาตให้นำไปใช้ประโยชน์ด้านการค้า  
ไม่ว่ากรณีใดๆทั้งสิ้น อีกทั้งห้ามมิให้ตัดแปลงเนื้อหา และต้องอ้างอิงถึงเจ้าของเอกสารทุกครั้งที่มีการนำไปใช้

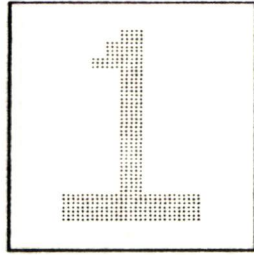


d) แสดงการสอนแพทเทิร์นตัวอักษรตัวเลข "4" ในรอบที่ 10

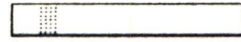


e) แสดงการสอนแพทเทิร์นตัวอักษรตัวเลข "4" ในรอบที่ 20

เอกสารนี้เป็นเอกสารที่สงวนไว้สำหรับการใช้งานเพื่อการศึกษาเท่านั้น ไม่นอนุญาตให้นำไปใช้ประโยชน์ด้านการค้า  
ไม่ว่ากรณีใดๆทั้งสิ้น อีกทั้งห้ามมิให้ดัดแปลงเนื้อหา และต้องอ้างอิงถึงเจ้าของเอกสารทุกครั้งที่มีการนำไปใช้



**Input Pattern**  
16x16



**Output Pattern**  
1x10



Loop (00030)                      Pattern no. (1)  
 Accept error = 0.001  
 Learning rate = 0.50  
 Pattern error = 0.00698  
 Total error = 0.08491

f) แสดงการสอนแพทเทิร์นตัวอักษรตัวเลข "1" ในรอบที่ 30



**Input Pattern**  
16x16



**Output Pattern**  
1x10



Loop (00030)                      Pattern no. (4)  
 Accept error = 0.001  
 Learning rate = 0.50  
 Pattern error = 0.01489  
 Total error = 0.08491

g) แสดงการสอนแพทเทิร์นตัวอักษรตัวเลข "4" ในรอบที่ 30

เอกสารนี้เป็นเอกสารที่สงวนไว้สำหรับการใช้งานเพื่อการศึกษาเท่านั้น ไม่อนุญาตให้นำไปใช้ประโยชน์ด้านการค้า  
 ไม่ว่ากรณีใดๆทั้งสิ้น อีกทั้งห้ามมิให้ดัดแปลงเนื้อหา และต้องอ้างอิงถึงเจ้าของเอกสารทุกครั้งที่มีการนำไปใช้

### ผลการทดสอบ

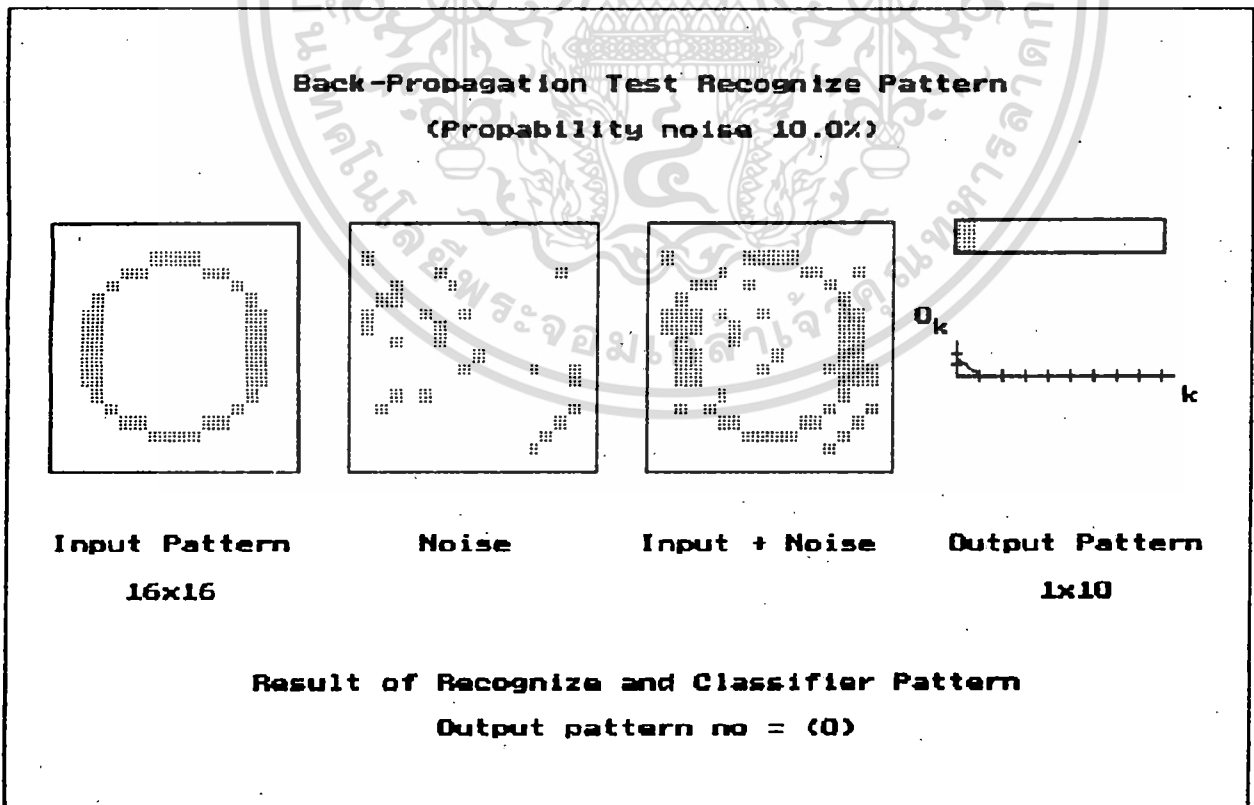
ได้ทดสอบความสามารถในการแยกแยะแพทเทิร์นที่มีความผิดเพี้ยน (Distortion) หลังจากสอนแพทเทิร์นตัวอักษรตัวเลขสี่หลัก โดยลองเพิ่มสัญญาณรบกวน (Noise) เข้าไปในแพทเทิร์นที่สมบูรณ์ดังในรูปที่ 15 กำหนดค่าความน่าจะเป็นของสัญญาณรบกวน P (Probability) เท่ากับ 0.10 (10 เปอร์เซ็นต์) แล้วคำนวณจำนวนบิตของสัญญาณรบกวนสำหรับแพทเทิร์นขนาด 16x16 (256 บิตแพทเทิร์น) ตามสมการ (48)

$$P = \frac{\text{Noise}}{\text{ขนาดแพทเทิร์น}} \dots (48)$$

แทนค่า

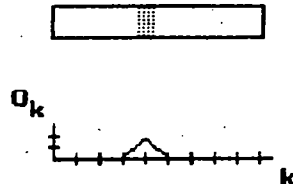
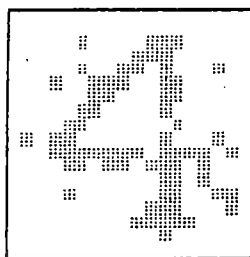
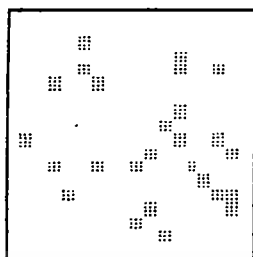
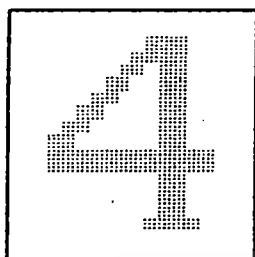
$$\begin{aligned} \text{Noise} &= 0.1 \times 256 \\ &= 25.6 \\ &\approx 26 \text{ บิตแพทเทิร์น} \end{aligned}$$

ดังนั้นจะต้องใส่ Noise จำนวน 26 บิตแพทเทิร์นลงใน 256 บิตของอินพุตแพทเทิร์น



a) แสดงตัวอย่างการทดสอบการแยกแยะแพทเทิร์นตัวอักษรตัวเลข "0" เอกสารนี้เป็นเอกสารสงวนไว้สำหรับการใช้งานเพื่อการศึกษาเท่านั้น ไม่นิยมนำไปใช้ประโยชน์ด้านการค้า ไม่ว่าจะกรณีใดๆทั้งสิ้น อีกทั้งห้ามมิให้ดัดแปลงเนื้อหา และต้องอ้างอิงถึงเจ้าของเอกสารทุกครั้งที่มีการนำไปใช้

**Back-Propagation Test Recognize Pattern**  
(Probability noise 10.0%)



**Input Pattern**  
16x16

**Noise**

**Input + Noise**

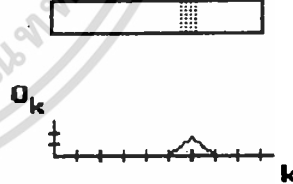
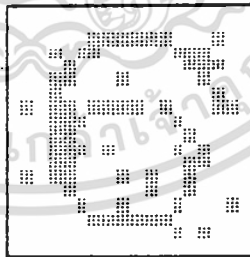
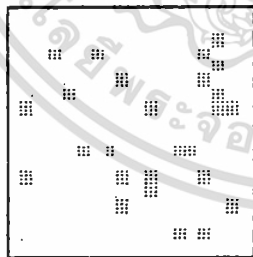
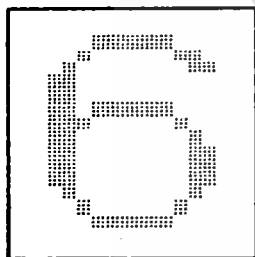
**Output Pattern**  
1x10

**Result of Recognize and Classifier Pattern**

**Output pattern no = (4)**

b) แสดงตัวอย่างการทดสอบการแยกแยะแพทเทิร์นตัวอักษรตัวเลข "4"

**Back-Propagation Test Recognize Pattern**  
(Probability noise 10.0%)



**Input Pattern**  
16x16

**Noise**

**Input + Noise**

**Output Pattern**  
1x10

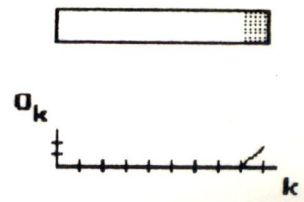
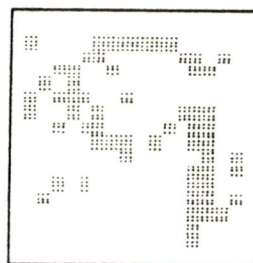
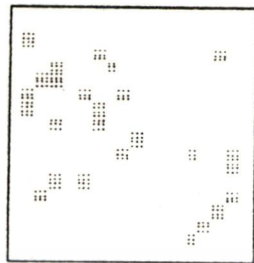
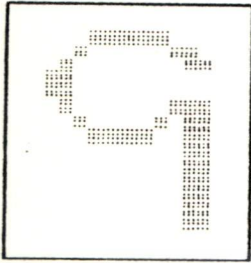
**Result of Recognize and Classifier Pattern**

**Output pattern no = (6)**

c) แสดงตัวอย่างการทดสอบการแยกแยะแพทเทิร์นตัวอักษรตัวเลข "6"

เอกสารนี้เป็นเอกสารที่สงวนไว้สำหรับการใช้งานเพื่อการศึกษาเท่านั้น ไม่อนุญาตให้นำไปใช้ประโยชน์ด้านการค้า  
ไม่ว่ากรณีใดๆทั้งสิ้น อีกทั้งห้ามมิให้ดัดแปลงเนื้อหา และต้องอ้างอิงถึงเจ้าของเอกสารทุกครั้งที่มีการนำไปใช้

**Back-Propagation Test Recognize Pattern  
(Propability noise 10.0%)**



**Input Pattern**  
16x16

**Noise**

**Input + Noise**

**Output Pattern**  
1x10

**Result of Recognize and Classifier Pattern**

Output pattern no = (9)

d) แสดงตัวอย่างการทดสอบการแยกแยะแพทเทิร์นตัวอักษรตัวเลข "9" รูปที่ 15 แสดงตัวอย่างการทดสอบการแยกแยะแพทเทิร์น เมื่อข้อมูลอินพุตถูกบิดเบือน

จากรูปที่ 15 แสดงผลการทดสอบโดยดูจากจอมอนิเตอร์ ตัวอักษรตัวเลขทางซ้ายมือเป็นแพทเทิร์นอินพุตปกติ ซึ่งนำมาเป็นตัวอย่างการทดสอบ ตัวอักษรตัวเลขตรงกลางหมายถึงอินพุตแพทเทิร์นที่มีสัญญาณรบกวน และตัวอักษรตัวเลขขวามือ เป็นตัวอักษรที่ผ่านการแยกแยะแพทเทิร์นด้วยโปรแกรมคอมพิวเตอร์ โดยวิธีการของแบ็คพร้อบพาเก้นนัวร์อลเน็ตเวิร์ค ผลจากการทดสอบแสดงให้เห็นว่า แม้อินพุตแพทเทิร์นตัวอักษรตัวเลขที่เข้ามาจะมีสัญญาณรบกวนบ้าง หากไม่มากนัก โปรแกรมสามารถแยกแยะแพทเทิร์นและแสดงเอาท์พุทที่ถูกต้องได้ โดยมีความผิดพลาดน้อยมาก

**เทคนิคการ Training เพิ่มเติม**

จากที่กล่าวมาแล้วข้างต้น เรากำหนดค่าอัตราการเรียนรู้ (Learning rate  $\eta$ ) เป็นค่าคงที่ตลอดการ Training ซึ่งให้ผลดีพอสมควร แต่จะขอแนะนำเพิ่มเติมเกี่ยวกับเทคนิคการ Training ดังนี้

- 1) กำหนดค่าอัตราการเรียนรู้ ( $\eta$ ) เป็นค่าคงที่ ซึ่งการเลือกค่า  $\eta$  ที่เหมาะสมที่สุด จำเป็นต้องทดลองแทนค่าด้วยตนเอง จากการทดสอบกำหนดให้ค่าผิดพลาดเฉลี่ยของระบบที่ยอมรับได้  $E$  เป็นค่าคงที่เท่ากับ 0.001
- ไม่ว่ากรณีใดๆทั้งสิ้น อีกทั้งห้ามมิให้ตัดแปลงเนื้อหา และต้องอ้างอิงถึงเจ้าของเอกสารทุกครั้งที่มีการนำไปใช้

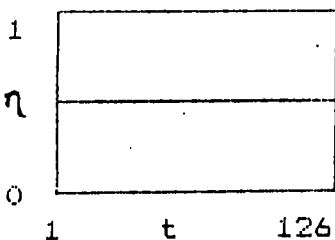
2) สูตรแปรผันตามจำนวนรอบ ( $t$ ) ใช้แนวความคิดมาจากสูตรการกระจายค่าของเอาท์พุท Self organization map [7] ของ Kohonen โดยเปลี่ยนมาใช้กับค่าอัตราการเรียนรู้ ( $\eta$ ) กำหนดให้ค่า  $\eta$  เริ่มแรกมีค่าเท่ากับ 1.0 และค่อยๆ ลดลงตามจำนวนรอบที่เพิ่มขึ้น จนกระทั่งค่าผิดพลาดเฉลี่ยของระบบ  $E$  มีค่าน้อยกว่าค่าผิดพลาดเฉลี่ยของระบบที่ยอมรับได้  $E_u$  ซึ่งกำหนดค่าสุดท้ายของ  $\eta$  มีค่าประมาณ 0.2

$$\eta = \eta_0 \left(1 - \frac{t}{T}\right) \quad \dots (49)$$

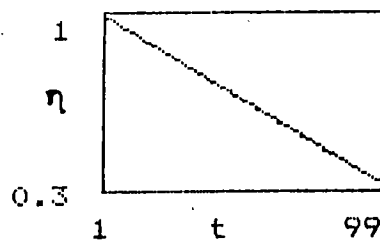
โดย  $\eta_0$  ค่าเริ่มต้นของอัตราการการเรียนรู้ กำหนดให้เท่ากับ 1.0  
 $t$  เป็นหมายเลขของรอบขณะทำการทดสอบ  
 $T$  เป็นจำนวนรอบทั้งหมดที่ใช้ในการทดสอบโดยประมาณ ต้องกำหนดเอง โดยตั้งเงื่อนไขว่า ค่าเริ่มต้น  $\eta$  มีค่าเท่ากับ 1 และค่าสุดท้ายควรมีค่าเป็น 0.2 ดังนั้น หากดูจำนวนรอบจากตาราง 4 และ 5 จะเห็นว่าค่า  $T$  ที่เหมาะสมควรมีค่าประมาณ 180 เมื่อกำหนด  $E_u$  เท่ากับ 0.001

3) สูตรแปรผันตามค่าผิดพลาดเฉลี่ยของระบบ ( $E$ ) ซึ่งเป็นวิธีที่เรานำเสนอ กำหนดให้ค่า  $\eta$  เริ่มแรกมีค่าเท่ากับ 1.0 และค่อยๆ ลดลงตามค่าค่าผิดพลาดเฉลี่ยของระบบ  $E$  ที่ลดลง จนกระทั่ง  $E$  มีค่าน้อยกว่าค่าผิดพลาดเฉลี่ยของระบบที่ยอมรับได้  $E_u$  กำหนดค่าสุดท้ายของค่า  $\eta$  มีค่าประมาณ 0.2

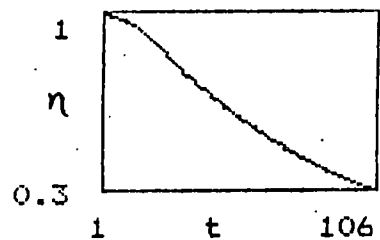
$$\eta = 1 - \frac{0.8 E}{E_u} \quad \dots (50)$$



a)



b)



c)

รูปที่ 16 แสดงการกำหนดค่า  $\eta$  แตกต่างกันตามสูตร

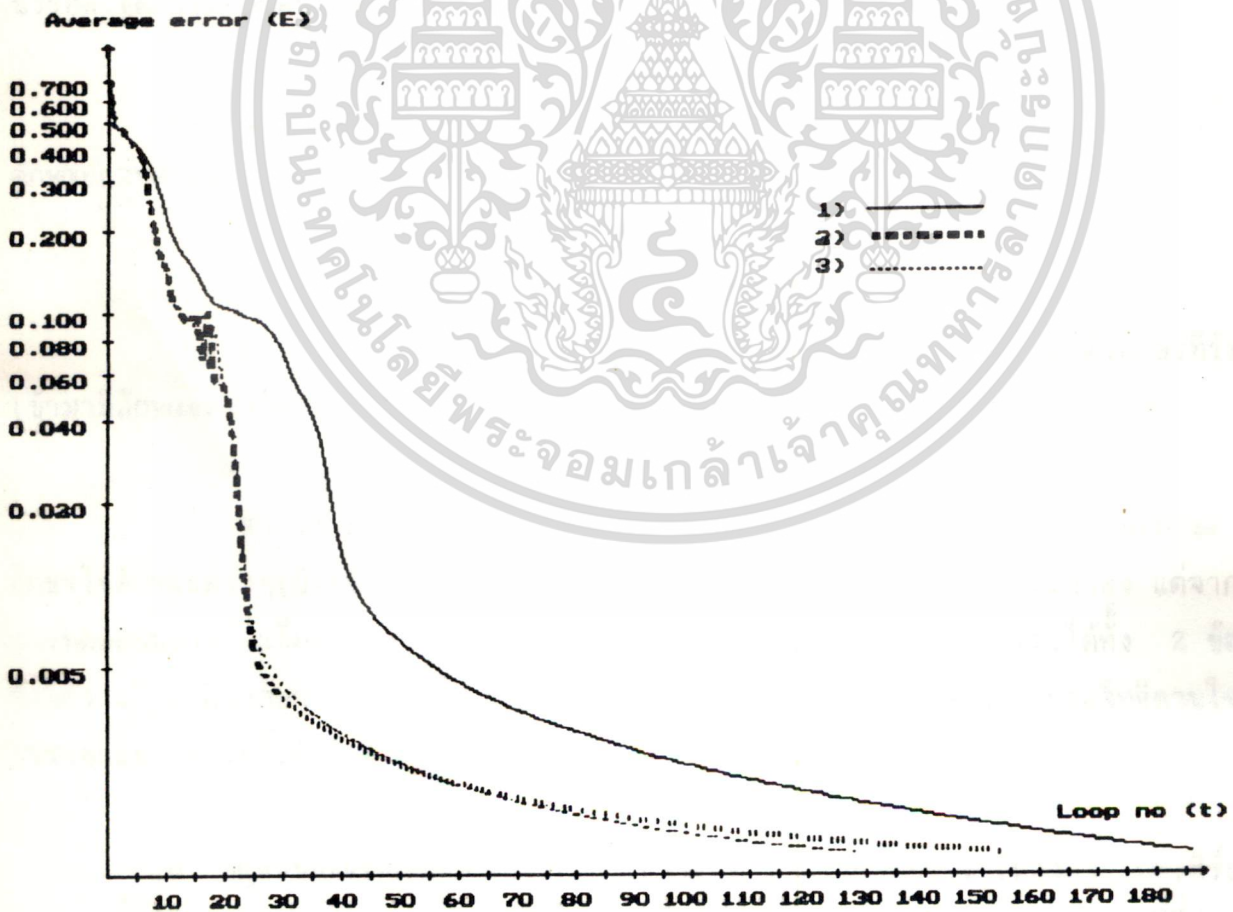
เอกสารนี้เป็นเอกสารที่สงวนไว้สำหรับการใช้งานเพื่อการศึกษาเท่านั้น ไม่อนุญาตให้นำไปใช้ประโยชน์ด้านการค้า ไม่ว่ากรณีใดๆทั้งสิ้น อีกทั้งห้ามมิให้ดัดแปลงเนื้อหา และต้องอ้างอิงถึงเจ้าของเอกสารทุกครั้งที่มีการนำไปใช้

รูปที่ 16 เป็นกราฟแสดงความสัมพันธ์ระหว่างค่าอัตราการเรียนรู้  $\eta$  กับค่าหมายเลขของรอบขณะทำการทดสอบ 16-a) กำหนดให้  $\eta$  เป็นค่าคงที่ 16-b) กำหนดให้  $\eta$  แปรผันตามจำนวนรอบ 16-c) กำหนดให้  $\eta$  แปรผันตามค่าผิดพลาดเฉลี่ยของระบบ

เพื่อเปรียบเทียบการทดสอบอัตราการเรียนรู้ทั้ง 3 แบบ จึงนำข้อมูลของความสัมพันธ์ระหว่างค่าผิดพลาดเฉลี่ยของระบบ (E) กับจำนวนรอบที่เพิ่มขึ้น (t) ขณะ Training เขียนเป็นกราฟขึ้น ดังในรูปที่ 17 โดยแสดงค่า E ในรูปแบบของลอการิทึม

- แบบที่ 1) กำหนดค่า  $\eta$  เป็นค่าคงที่เท่ากับ 0.5
- แบบที่ 2) กำหนดค่า  $\eta$  แปรผันตามจำนวนรอบ (t)
- แบบที่ 3) กำหนดค่า  $\eta$  แปรผันตามค่าผิดพลาดเฉลี่ยของระบบ (E)

จากรูป แบบที่ 2) และ แบบที่ 3) ให้ผลใกล้เคียงกัน โดยเส้นกราฟจะทับกันพอดี ซึ่งค่าผิดพลาดเฉลี่ยของระบบ E จะลดลงเร็วมากในช่วงแรก และจะช้าลงเมื่อจำนวนรอบเพิ่มขึ้น จากการทดสอบความสามารถในการแยกแยะแพทเทิร์นเปรียบเทียบกันทั้ง 3 แบบพบว่า แบบที่ 2) และแบบที่ 3) จะสามารถแยกแยะแพทเทิร์นได้ดีกว่าแบบที่ 1) เล็กน้อย



รูปที่ 17 แสดงผลการ Training โดยกำหนดค่า  $\eta$  แตกต่างกันตามสูตร เอกสารนี้เป็นเอกสารที่สงวนไว้สำหรับการใช้งานเพื่อการศึกษาเท่านั้น ไม่อนุญาตให้นำไปใช้ประโยชน์ด้านการค้า ไม่ว่ากรณีใดๆทั้งสิ้น อีกทั้งห้ามมิให้ดัดแปลงเนื้อหา และต้องอ้างอิงถึงเจ้าของเอกสารทุกครั้งที่มีการนำไปใช้

## สรุป

การนำนิวรอลเน็ตเวิร์คซึ่งเป็นศาสตร์ที่มีความใกล้เคียงกับสมองมนุษย์มาช่วยงาน ทำให้เกิดประโยชน์อย่างมากทั้งในปัจจุบันและในอนาคต โดยคอมพิวเตอร์สามารถเรียนรู้ และจดจำแพทเทิร์นในลักษณะต่างๆได้ ในอนาคต สามารถนำนิวรอลเน็ตเวิร์คไปประยุกต์เพื่อจดจำลายมือเขียน ลายนิ้วมือ ลายเซ็นต์ และเสียงพูดของมนุษย์ได้

รายงานนี้นำเสนอวิธีการของแบ็คพร็อพกาเกชั่น (Back-Propagation) ซึ่งเป็นนิวรอลเน็ตเวิร์คในรูปหนึ่งที่มีความเหมาะสมมากที่สุด การจดจำและแยกแยะแพทเทิร์นตัวอักษรตัวพิมพ์ เพื่อประยุกต์ใช้กับโปรแกรมทางด้าน OCR จากผลการทดสอบ โดยเขียนซอฟต์แวร์ให้ผลเป็นที่น่าพอใจระดับหนึ่ง แต่ยังคงต้องการพัฒนาต่อไปอีก เพื่อให้ซอฟต์แวร์สามารถจดจำและแยกแยะแพทเทิร์นตัวอักษรซึ่งมีขนาดต่างๆกัน หรือหมุนเอียงไปในทิศใดทิศหนึ่ง

## เอกสารอ้างอิง

1. David E. Rumelhart, James L. McClelland and the PDP Research Group, **Parallel Distributed Processing: Exploration in the Microstructure of Cognition, Volume 1: Foundations**, by The Massachusetts Institute of Technology, 1986.
2. Philip D. Wasserman, **Neural Computing Theory and Practice**, ANZA Research Inc, 1989.
3. Jacek M. Zurada, **Introduction to Artificial Neural Systems**, West Info Access, 1992
4. R. P. Lippmann, "An Introduction to Computing with Neural Nets", **IEEE Acoustics, Speech, and Signal Processing Society, Volume 4, Number 2**, pp. 4-22, April 1987.
5. Philip Treleaven, Marco Pacheco and Marley Vellasco, **VLSI Architectures for Neural Networks**, IEEE Micro, pp. 8-27, December 1989.
6. Yoh-Han Pao, **Adaptive Pattern Neural Networks**, Addison-Wesley Inc., pp. 113-140, 1989.
7. T. Kohonen, **Self-Organization and Associative Memory**, Springer-Verlag, 1989

เอกสารนี้เป็นเอกสารที่สงวนไว้สำหรับการใช้งานเพื่อการศึกษาเท่านั้น ไม่อนุญาตให้นำไปใช้ประโยชน์ด้านการค้า  
ไม่ว่ากรณีใดๆทั้งสิ้น อีกทั้งห้ามมิให้ดัดแปลงเนื้อหา และต้องอ้างอิงถึงเจ้าของเอกสารทุกครั้งที่มีการนำไปใช้